

© 1986 ISIJ

## Ti-6Al-4V 合金の韌性とミクロ組織因子

論文

新家 光雄\*・小林 俊郎\*・佐々木伸行\*\*

## Toughness and Microstructural Factor of Ti-6Al-4V Alloy

Mitsuo NIINOMI, Toshiro KOBAYASHI and Nobuyuki SASAKI

## Synopsis :

Instrumented Charpy impact test, dynamic fracture toughness test and static fracture toughness test by DC electrical potential method were carried out on Ti-6Al-4V alloys with various microstructures to investigate the effect of microstructural factors including fractographic measurements on various toughness criteria, i.e., Charpy absorbed energy ( $E_i$ : total absorbed energy,  $E_i$ : apparent crack initiation energy,  $E_p$ : apparent crack propagation energy), dynamic fracture toughness ( $J_d$ ), static fracture toughness ( $J_{IC}$  or  $K_Q$ ), static crack propagation resistance curve ( $J_R$ curve), and static tearing modulus ( $T_{mat}$ ).

Evaluated toughness of Ti-6Al-4V alloy appeared different between Charpy test and dynamic toughness test mainly because the microstructural unit which controls the fracture may be different between these tests. Evaluated toughness by  $J_R$  curve or  $T_{mat}$  did not necessarily coincide with that by  $J_{IC}$ . Thus, it is necessary to use a proper toughness criterion according to the method of design. It was found that microstructure had a more significant role in influencing the  $T_{mat}$  rather than  $J_{IC}$ . Further, the relationships between microstructural factors, i.e., areal fraction of primary  $\alpha$ , mean free path of primary  $\alpha$ , depth of dimples, prior  $\beta$  grain size, and block size, and various toughness criteria mentioned above are clearly defined.

## 1. 緒 言

( $\alpha + \beta$ ) 型チタン合金である Ti-6Al-4V 合金は、熱処理によりミクロ組織が多様に変化するため、強度および韌性を目的に応じて制御することが可能であり、他の諸性質を加味した場合にも各特性のバランスが比較的良好である<sup>1)</sup>ことから、チタン合金中で最も多用されている。したがつて、本合金の強韌性に関する研究報告も多く、最近では、2段溶体化法などの比較的複雑な熱処理法も報告され成果を挙げている<sup>2)</sup>。しかし、本合金の韌性とミクロ組織との関係は、依然として明瞭にされていないのが現状であると言える。

また、Ti-6Al-4V 合金は、高強度であるため、主として線型破壊力学を基礎とする ASTM E399<sup>3)</sup>に準拠した平面歪み破壊韌性 ( $K_{IC}$ ) 試験により韌性が評価されてきているが、実際の試験では、かなりの塑性変形を伴つて破壊が発生している場合が多く、弾塑性破壊力学、すなわち J 積分による韌性評価が有効と考えられる。

J 積分による韌性評価法には種々あるが、特に最近では、破壊発生後のき裂進展抵抗曲線 ( $R$  曲線) に関心がもたれ、新しい韌性評価基準としてテアリングモジュラス ( $T_{mat}$ )<sup>4)</sup> が提案され、構造物の設計に応用しよう

する姿勢が見られる。

以上のことから、本研究では、種々の熱処理を施した Ti-6Al-4V 合金の韌性を動的条件下については計装化シャルピー衝撃試験法により、静的条件下については直流電位差法により上記弾塑性破壊力学に基づく最新評価基準を中心として評価し、ミクロ組織との関係について検討した。

## 2. 実験方法

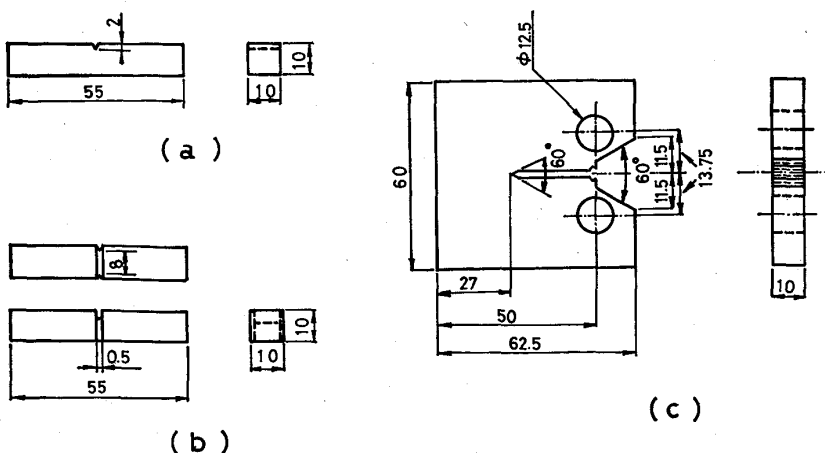
本研究には、Table 1 に化学組成を示す板厚 12 mm の Ti-6Al-4V 合金圧延板を供した。この板材より、Fig. 1 に示す各試験片を機械加工により作製した。各試験片の熱処理は、Table 2 に示す 11 種類について行ったが、動的および静的破壊韌性測定試験片については、計装化シャルピー衝撃試験の結果を考慮して、これらのうち代表的な熱処理を選び施した。なお、A~F の試料は等軸  $\alpha$  組織を、G~K の試料は針状  $\alpha$  組織を

Table 1. Chemical composition of material. (mass%)

Material	Al	V	Fe	O	C	H	N
Ti-6Al-4V	6.37	4.01	0.15	0.101	0.008	0.0029	0.0099

\* 昭和 60 年 4 月本会講演大会にて発表 昭和 60 年 6 月 18 日受付 (Received June 18, 1985)  
\* 豊橋技術科学大学 工博 (Toyohashi University of Technology, 1-1 Hibarigaoka, Tempaku-cho Toyohashi 440)

\*\* 豊橋技術科学大学大学院 (Graduate School, Toyohashi University of Technology)



(a) Standard Charpy V notch specimen,  
 (b) Side grooved deep notch specimen,  
 (c) Compact tension specimen,  
 Fig. 1. Specimen geometries.

Table 2. Heat treatment condition of specimen.

Specimen	Solution treatment	Aging treatment	Microstructure	HV
A	978k×2h, Annealing		Equiaxed $\alpha$ structure	308
B	1173k×1h AC	813k×4h AC	"	312
C	" WQ	"	"	337
D	1228k×1h AC	"	"	305
E	" WQ	"	"	360
F	" "	978k×4h AC	"	309
G	1338k×1h WQ	813k×4h AC	Acicular $\alpha$ structure	368
H	" WQ	978k×4h AC	"	389
I	1423k×1h FC	813k×4h AC	"	300
J	" AC	"	"	345
K	" WQ	"	"	444

FC: Furnace cooling, AC: Air cooling, WQ: Water quenching, HV: Vickers hardness

呈している。

計装化シャルピー衝撃試験は、破壊靭性試験を行うための基礎資料を得るために、Fig. 1 (a) の試験片を用いて行つた。試験後、荷重-変位曲線から、演算装置により、全吸収エネルギー ( $E_t$ )、公称き裂発生エネルギー ( $E_i$ )、公称き裂伝播エネルギー ( $E_p$ ) などを計算した。

動的破壊靭性試験および静的破壊靭性試験では、おのの Fig. 1 (b) および(c)に示した試験片に ASTM E399<sup>3)</sup> に準拠して疲労き裂を付加し、おのの  $a_0/W = 0.6$  および  $0.55$  ( $a_0$ : 初き裂長さ,  $W$ : 試験片幅) になるようにした後、前者については計装化シャルピー衝撃試験法<sup>5)(6)</sup>により動的破壊靭性値を、後者については直流電位差法 (EPM)<sup>4)</sup> により静的破壊靭性値および  $R$  ( $J_R$ ) 曲線を求めた。その場合、動的破壊靭性試験では、き裂発生エネルギーを最大荷重点までのエネルギーとした。一般に、き裂発生点は必ずしも最大荷重点と一致するとは限らず、材料特性および塑性拘束度などにより変化する。しかし、本研究では、サイドグループを付加し、塑性拘束度を高めていること、ならびに簡便法として、き裂発生点が最大荷重点と一致するとして解析を進めた<sup>6)</sup>。また、直流電位差法による静的破壊靭性試験でのき裂発生点は第1の電位差立ち上がり点から検出し、

$J_R$  曲線を求める際にはき裂進展量の補正を考慮した、ASTM E813 の推奨式<sup>8)</sup>を用いて J 積分を計算した。

各靭性評価試料については、走査型電子顕微鏡により破面形態の観察を行い、さらに等軸  $\alpha$  組織の試料については初析  $\alpha$  相の面積率、粒径などを、針状  $\alpha$  組織の試料については旧  $\beta$  粒径などをビデオパターンアナライザにて解析した。

### 3. 実験結果および考察

#### 3.1 動的条件下での靭性評価

##### 3.1.1 計装化シャルピー衝撃試験

Fig. 2 に計装化シャルピー衝撃試験によつて解析された各熱処理試料の各吸収エネルギー値 ( $E_i$ ,  $E_p$  および  $E_t$ ) を示す。

各吸収エネルギーは、等軸および針状  $\alpha$  組織のいずれを呈するかにかかわらず、溶体化後の冷却速度が大きい場合、すなわち水冷 (WQ) の場合よりも、冷却速度が遅い場合、すなわち空冷 (AC) あるいは炉冷 (FC) の場合の試料の方がより高い値を示す傾向にあり、靭性の高いことを示している。また、同一溶体化処理条件では、時効温度が高い場合に各吸収エネルギーが高い傾向も認められる。

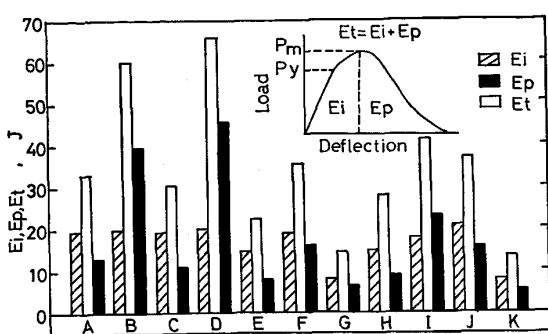


Fig. 2. Apparent crack initiation energy ( $E_i$ ), apparent crack propagation energy ( $F_p$ ) and total absorbed energy ( $E_t$ ) obtained by instrumented Charpy impact test.

各吸収エネルギー値について、さらに詳細に検討すると、 $E_i$  値については、各試料間での差は小さいが、等軸  $\alpha$  組織を呈する場合には、1173 および 1223 K で 1 h 溶体化後 AC し、813 K で 4 h 時効したとき (B および D) が他に比較して大きく、良好な破壊靱性値 ( $K_{IC}$ ) を示す可能性を示している。針状  $\alpha$  組織を呈する場合には、1423 K で 1 h 溶体化後 AC し、813 K で 4 h 時効したとき (I) に最も大きな値を示す。この値は、等軸  $\alpha$  組織である B および D の熱処理試料に波べ若干小さい。

一方、 $E_p$  値については、各熱処理条件間で明瞭な差が認められ、等軸  $\alpha$  組織を示す熱処理条件 B および D で、他に比較して著しく高い値が得られている。等軸  $\alpha$  組織の試料では、溶体化後の処理が AC の場合には、溶体化温度が高いほど、 $E_p$  値が大きく、溶体化後の処理が WQ の場合には、これとは逆に小さくなる傾向が明白に認められる。

$E_t$  値の各熱処理条件による違いは、主に  $E_p$  値の各熱処理条件による違いの傾向とほぼ同一である。

以下の動的および静的破壊革性値の評価については、以上の計装化シャルピー衝撃試験の結果を考慮し、等軸 $\alpha$ 組織を示す場合には、高革性の得られた熱処理条件BおよびDならびにそれらとの比較のために熱処理条件Aの試料につき行い、針状 $\alpha$ 組織を示す場合には、高革性を示す熱処理条件IおよびJならびにそれらとの比較のために熱処理条件Kの試料につき行うこととした。

### 3.1.2 動的破壞韌性

Fig. 3 に、前述した代表的熱処理条件の試料について得られた動的破壊革性値 ( $J_d$ ) を、シャルピー吸收エネルギー値 ( $E_t$ ) とともに示す。得られた動的破壊革性値はいずれも疲労き裂導入条件および板厚に関する Valid 条件を満足しているが、前述したように、本研究では便宜上見かけのき裂発生点を採用しているため、 $J_d$

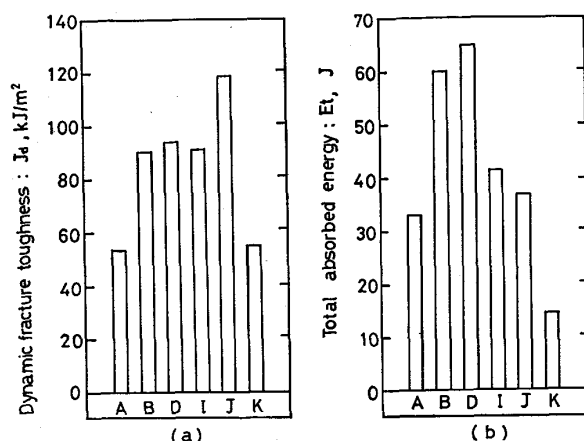


Fig. 3. Comparison between (a) dynamic fracture toughness ( $J_d$ ) and (b) total absorbed energy ( $E_t$ ).

となつてゐる。

Fig. 3 からわかるように、Vノッチシャルピー試験による靶性評価では等軸  $\alpha$  組織の靶性が針状  $\alpha$  組織に比較して優れているのに対し、 $J_d$  値による靶性評価では針状  $\alpha$  組織で最も優れた結果が得られており、両試験間で靶性評価が異なる。このような現象は、既に鋼やアルミニウム合金について著者らの一人によつて報告されている<sup>7)9)10)</sup>が、本研究結果によつて Ti 合金でも同様な現象が生じることがわかる。

いま、き裂先端の破壊を支配するミクロ組織単位（長さ  $l_0$ ）にわたる領域が限界歪み ( $\epsilon_f$ ) に達したとき、破壊が発生すると考えると、限界開口変位 ( $\delta_c$ ) および切欠き先端半径 ( $\rho$ ) を用いて、見かけの  $J_c$  は一般に次式の関係で表される<sup>9)10)</sup>。

この関係は、動的条件下でも成立する<sup>9)10)</sup>。したがつて、切欠き先端半径の大きさ  $\rho$  に比例して  $J_d$  は上昇し  $l_0$  以下の  $\rho$  では一定の  $J_d$  値となることは容易に理解できる。等軸  $\alpha$  組織と針状  $\alpha$  組織とでは、この破壊を規定するミクロ組織単位が異なることが、シャルピー試験での評価と相異する主原因であると推定される<sup>7)</sup>。このことは、模式的に Fig. 4 のように説明できると考えられる。

### 3.2 静的条件下での韌性評価

### 3.2.1 靜的破壞韌性值

直流電位差法により、各代表的熱処理条件の試料について決定された静的弾塑性破壊靶性値  $J_{IC}$  を Table 3 に示す。同表には、[ASTM E399 規定<sup>3)</sup>]に基づく 5% off set 点から決定される  $K_Q$  値および  $J_{IC}$  (EPM) 値より換算される  $J_{IC}$  (I) 値ならびに  $K_{IC}$  (I)/ $K_Q$  値も示

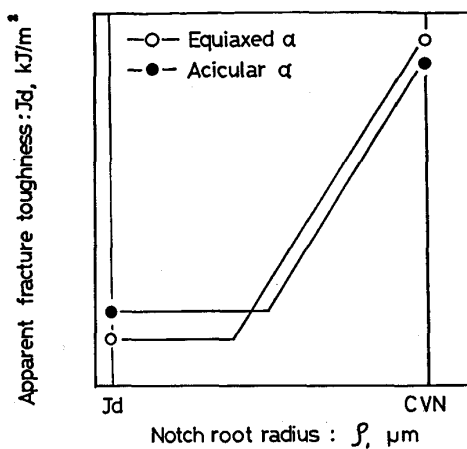


Fig. 4. Schematic representation of the difference of toughness evaluation between Charpy V notch (CVN) test and dynamic fracture toughness test.

Table 3.  $J_{IC}$  determined by DC electrical potential method ( $J_{IC}(\text{EPM})$ ),  $K_Q$  determined according to ASTM-E399,  $K_{IC}(J)$  converted from  $J_{IC}(\text{EPM})$  and  $K_{IC}(J)/K_Q$ .

Specimen	A	B	D	I	J	K
$J_{IC}$ (EPM) ( $\text{kJ/m}^2$ )	37.3	47.3	55.3	27.0	31.8	19.6
$K_Q$ ( $\text{MPam}^{1/2}$ )	68.8	81.1	87.0	90.6	86.9	82.9
$K_{IC}(J)$ ( $\text{MPam}^{1/2}$ )	65.0	75.4	81.0	60.8	66.9	49.4
$K_{IC}(J)/K_Q$	0.94	0.93	0.93	0.67	0.77	0.60

$K_{IC}(J) = \sqrt{J_{IC}(\text{EPM}) \cdot E / (1 - \nu^2)}$ , E: Young's modulus,  
 $\nu$ : Poisson's ratio

した。等軸  $\alpha$  組織試料では、 $K_Q$  値および  $K_{IC}(J)$  値は、ほぼ一致する傾向にあるが、針状  $\alpha$  組織試料では  $K_Q$  値に比べ  $K_{IC}(J)$  値が著しく小さく、しかも針状  $\alpha$  組織試料の  $J_{IC}$  値は等軸  $\alpha$  組織試料のそれと比較し著しく小さい。しかし、 $K_Q$  値に注目した場合、針状  $\alpha$  組織試料での値が最も大きく得られており、 $J_{IC}$  値とは全く逆の韌性評価を与えている。針状  $\alpha$  組織試料では、AE 測定による破壊韌性評価においても、AE により評価される  $K_{IC}(\text{AE})$  値と ASTM E399<sup>a</sup> に基づく  $K_{IC}$  値との間に大きな差が認められており、この原因として後述する針状  $\alpha$  コロニーの大きな割れ (50~300  $\mu\text{m}$  程度) がかなり低荷重側で既に生じていることによるとしている<sup>11)</sup>。本研究の現象も同様の理由と考えられる。したがつて、針状  $\alpha$  組織での直流電位差に基づく  $J_{IC}$  値は、針状  $\alpha$  コロニーの割れを破壊発生とした韌性値であり、 $K_Q$  値には針状  $\alpha$  コロニーの割れを含めた安定き裂成長の影響がかなり含まれていると考えられる。針状  $\alpha$  組織では、後述するように、破面の凹凸が激しく、破面単位が大きいほど  $K_Q$  値が向上する。この事実は、安定成長き裂面が荷重軸に対して垂直ではなく、3 次元的にもかなり折れ曲がった状態にあることを示す。

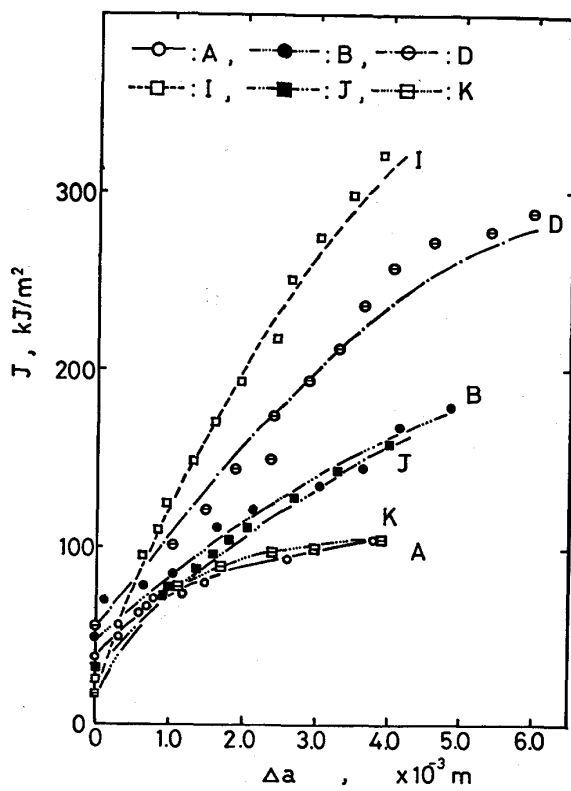


Fig. 5. Change of  $J$  integral value with crack extension ( $\Delta a$ ).

すなわち、破面単位が大きいほど、き裂進展方向が偏倚する。このことは、作用する有効な応力拡大係数レベルの減少に直接結びつく<sup>12)13)</sup>と考えられ、その結果、臨界の  $K_Q$  値の上昇につながつたと結論できる。

### 3.2.2 $J_R$ 曲線および $T_{mat}$

Fig. 5 に破壊韌性試験を行つた場合と同様の熱処理条件の試料につき、電位差法により測定した  $R$  曲線 ( $J_R$  曲線) を示す。いずれの試料でもき裂の進展とともに  $J$  値は放物線的な増大化傾向を示している。き裂進展量が極めて小さい範囲では、等軸  $\alpha$  組織試料に比べ、針状  $\alpha$  組織試料での  $J$  値の方が小さく、き裂進展抵抗が小さいが、き裂進展量が大きな領域では、むしろ針状  $\alpha$  組織試料での  $J$  値が大きくなる場合が認められ、この組織試料でのき裂進展抵抗が大きくなる傾向がある。次に、この  $J_R$  曲線の傾きから得られる材料のき裂進展への安定性を示す  $T_{mat}$  ( $= (E/\sigma_0^2) \cdot (dJ/d\Delta a)$ ,  $\sigma_0 = (\sigma_A + \sigma_B)/2$ ,  $\sigma_0$ : 流動応力,  $\sigma_B$ : 引張強さ) のき裂進展量に対する変化を Fig. 6 に示す。 $T_{mat}$  は、き裂進展初期に大きな値を示し、き裂進展量が 1 ないし 2 mm 以内で比較的急激に低下しほぼ一定値に近づく傾向を示しており、他材料で報告<sup>14)</sup>されている  $T_{mat}$  のき裂進展に対する変化傾向と類似している。安定き裂成長が不安定き裂成長へ移行するときの条件は、負荷系のテアリング

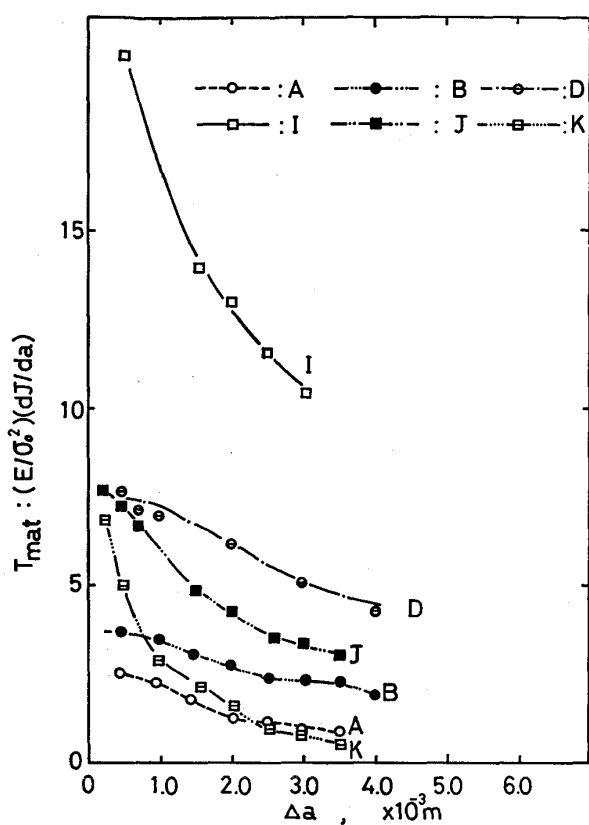


Fig. 6. Change of tearing modulus ( $T_{mat}$ ) with crack extension ( $\Delta a$ ).

モジュラスを  $T_{app}$  とすると  $T_{app} > T_{mat}$  である<sup>4)</sup> ことから、 $T_{mat}$  の大きな材料ほど不安定き裂成長への抵抗が大きく、き裂が発生した後ただちに急速破壊へ進展する可能性が小さいことを示す。本研究では、針状  $\alpha$  組織を呈する熱処理条件 I の試料の  $T_{mat}$  が最も大きく、不安定き裂進展への抵抗が最も大きいことがわかる。このような点は、必ずしもシャルピー試験や  $J_{IC}$  試験では判定できない重要な示唆である。針状  $\alpha$  組織試料では、き裂進展初期の  $T_{mat}$  は大きいが、き裂進展量が大きくなつた場合には、かなり低下し、不安定化しやすいと思われる。等軸  $\alpha$  組織では、き裂進展量に対する  $T_{mat}$  の変化は小さい。

ここで、各靱性値 ( $E_i, E_p, E_t, K_Q$  および  $J_{IC}$ ) と  $T_{mat}$  との関係を Fig. 7 に示す。この場合、JSME-SO01  $J_{IC}$  試験法<sup>15)</sup>で  $R$  曲線の決定に許される最大き裂進展量 ( $\Delta a=1 \text{ mm}$ ) での  $T_{mat}$  値を用いた。等軸および針状  $\alpha$  組織間で各異なつた相関ではあるが、 $T_{mat}$  はき裂発生抵抗を表す  $E_i$  および  $J_{IC}$  に対してよりも、き裂進展抵抗を表す  $E_p$  あるいは、前述の議論からき裂進展抵抗をかなり反映している  $E_t$  および  $K_Q$  との相関性が良好であり、き裂進展開始靱性（特に、 $J_{IC}$ ）およびき裂進展抵抗靱性 ( $T_{mat}$ ) 間での靱性評価には、大

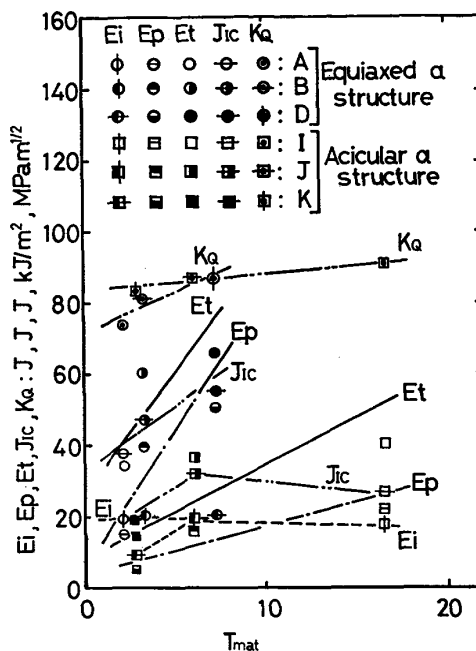


Fig. 7. Relation among  $E_i, E_p, E_t, J_{IC}, K_Q$  and  $T_{mat}$ .

きな差異が認められ、最近注目されている損傷許容設計を行うような場合には、き裂進展開始靱性だけを考慮したのでは過剰設計となり、誤った結果を導く可能性があるといえる。また、シャルピー吸収エネルギーは、主にき裂進展抵抗を反映しやすいという点も注目に値する。

最近、ミクロ組織の影響は、き裂進展開始靱性に対してよりもき裂進展抵抗靱性に対して明瞭に現れることが指摘されているが<sup>16)</sup>、後述するように、 $T_{mat}$  とミクロ組織との間に良好な相関性が認められ、本研究結果もこれを支持している。したがつて、熱処理工の試料の  $T_{mat}$  が高いのは、この試料での破面単位が大きく、き裂の進展方位が大きく偏倚する結果の反映と考えられる。

### 3.3 各靱性値 ( $E_t, J_d, J_{IC}, K_Q$ および $T_{mat}$ ) とミクロ組織単位との関係

#### 3.3.1 等軸 $\alpha$ 組織

Fig. 8 に  $E_t$  および初析  $\alpha$  相面積率間の関係を示す。両者の関係は、溶体化後の冷却速度に依存しており、溶体化後 AC した場合には、負の相関性を示す。このことは、熱処理条件により、初析  $\alpha$  相の破壊に対して果す役割が異なることを示しているとも考えられるが、むしろこの付近の  $\beta$  量 ( $\approx 20 \sim 30\%$ ) の所で、 $\beta$  相の破壊に関与する連続性が変化することが主因ではないかと思われる。つまり、 $\beta$  相の基地中での連続性が失われると負の相関性が認められ、き裂は優先的に初析  $\alpha$  相あるいは  $\alpha/\beta$  界面を伝播経路として脆化しやすくなると思われる。

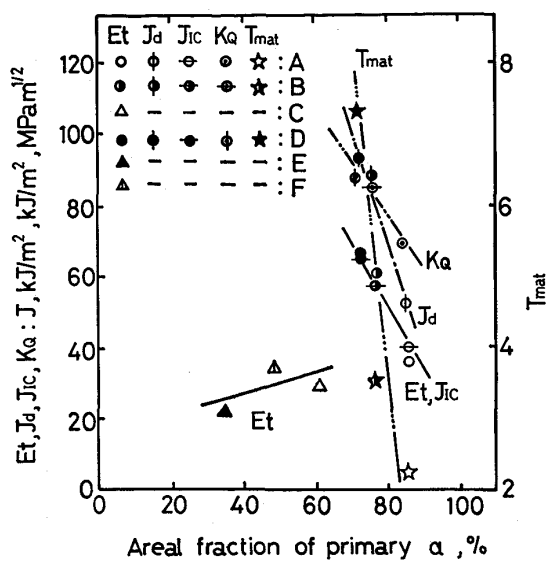


Fig. 8. Relation among  $E_t$ ,  $J_d$ ,  $J_{IC}$ ,  $K_Q$ ,  $T_{mat}$  and areal fraction of primary  $\alpha$  (Equiaxed  $\alpha$  structure).

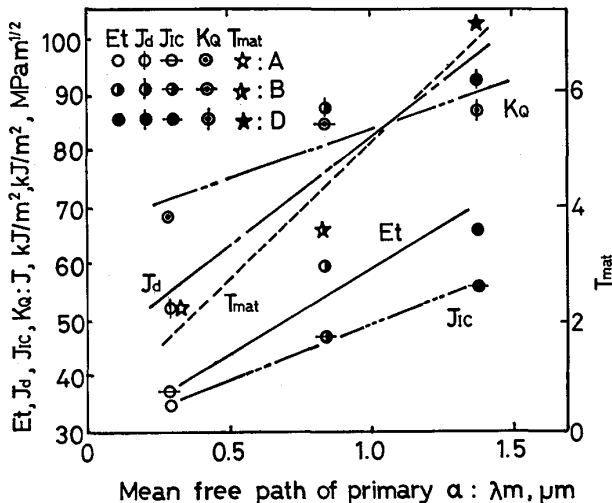


Fig. 9. Relation among  $E_t$ ,  $J_d$ ,  $J_{IC}$ ,  $K_Q$ ,  $T_{mat}$  and mean free path of primary  $\alpha$  (Equiaxed  $\alpha$  structure).

さらに, Fig. 8 には,  $J_d$ ,  $J_{IC}$ ,  $K_Q$  および  $T_{mat}$  と初析  $\alpha$  相面積率との関係についても示す. 各靱性値は, 初析  $\alpha$  相面積率に対し  $E_t$  と類似した相関性を示すことがわかる. したがつて, 韌性値が初析  $\alpha$  相面積率に対し負の相関性を示すようなときには, 初析  $\alpha$  相がき裂の発生源および伝播経路形成源として作用することがより主張される.

次に、上記の場合について  $E_t$ ,  $J_d$ ,  $J_{IC}$ ,  $K_Q$  および  $T_{mat}$  と初析  $\alpha$  相の平均自由距離 ( $\lambda_m$ ) との関係を Fig. 9 に示す。この場合、初析  $\alpha$  相を球形と仮定し次式<sup>17)</sup>により平均自由距離 ( $\lambda_m$ ) を計算した。

( $R_0$ : 初析  $\alpha$  の半径,  $f$ : 初析  $\alpha$  相面積率 (%) / 100)

いずれの靱性値も初析  $\alpha$  相の平均自由距離と良好な相関性を示していることがわかる。

前述したように、破壊革性値は、き裂先端が鉗化し限界開口変位( $\delta_c$ )に達するまでに示す材料の抵抗を示す。したがって、Fig. 9 の試料では初析  $\alpha$  相の平均自由距離  $\lambda_m$  および限界開口変位 ( $\delta_c$ ) 間には、 $\delta_c = k \cdot \lambda_m$  ( $k$ : 定数) なる関係が予測され、破壊を支配するミクロ組織単位距離 ( $l_0$ ) は  $\lambda_m$  に対応していることが推定される。

### 3.3.2 針狀 $\alpha$ 組織

Fig. 10 に  $E_t$ ,  $J_d$ ,  $J_{IC}$ ,  $K_Q$  および  $T_{mat}$  と旧  $\beta$  粒径との関係を示す。 $E_t$  および  $K_Q$  と旧  $\beta$  粒径との間には明らかに相関性が認められ、旧  $\beta$  粒径の粗大化に伴つて  $E_t$ ,  $K_Q$  および  $T_{mat}$  が増大し、靄性が向上する傾向にある。これは、鋼やアルミニウム合金で知られているような結晶粒微細化により靄性値が向上するという一般的な事実とは逆の結果となつてゐる。しかし、本研究では、 $E_t$ ,  $K_Q$  および  $T_{mat}$  の値は後述する破面観察からより明白となるが、旧  $\beta$  粒径よりもむしろ旧  $\beta$  粒を構成する下部組織である針状  $\alpha$  コロニーの大きさとより相関していると考えられ、旧  $\beta$  粒の大きさと針状  $\alpha$  コロニーの大きさとがほぼ比例関係にあることから本現象が生じたと思われる。しかし、組織の粗大化に伴い  $E_t$ ,  $K_Q$  および  $T_{mat}$  が上昇する傾向にかわりはない。

### 3.4 破面単位と韌性との関係

Photo. 1 に代表例を示すように、等軸  $\alpha$  組織を示す試料では、破面全体が等軸ディンプルによつて形成されており、針状  $\alpha$  組織を示す試料では凹凸の激しいプロ

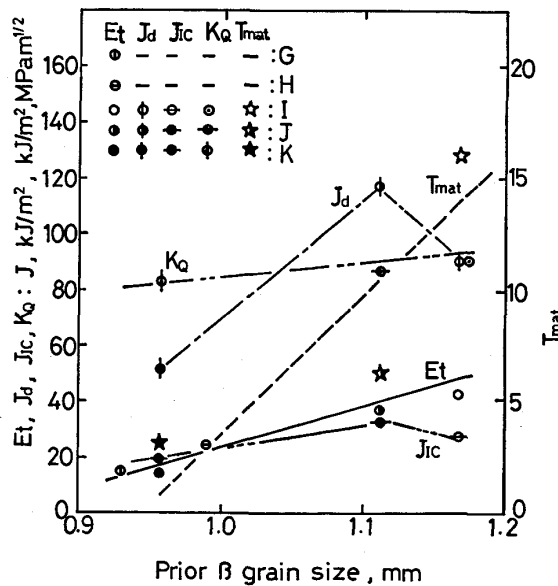


Fig. 10. Relation among  $E_t$ ,  $J_d$ ,  $J_{IC}$ ,  $K_Q$ ,  $T_{mat}$  and prior  $\beta$  grain size (Acicular  $\alpha$  structure).

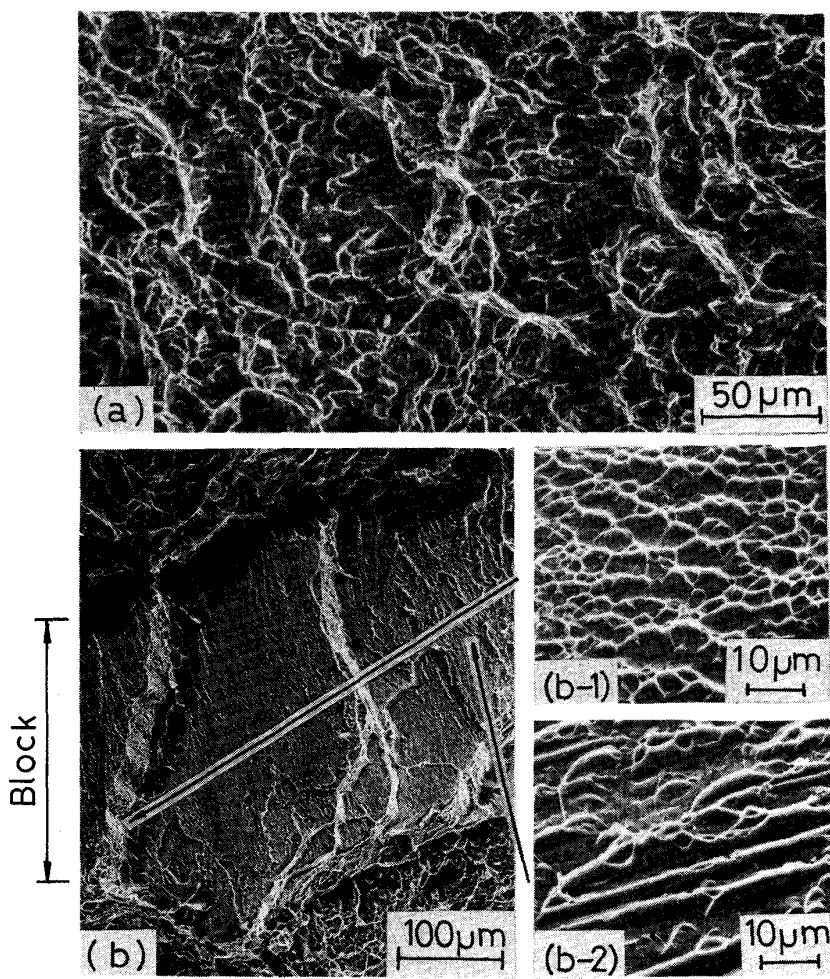


Photo. 1. Typical fractographs of (a) : equiaxed  $\alpha$  structural material and (b) : acicular  $\alpha$  structural material ((b) : low magnification, (b-1), (b-2) : high magnification).

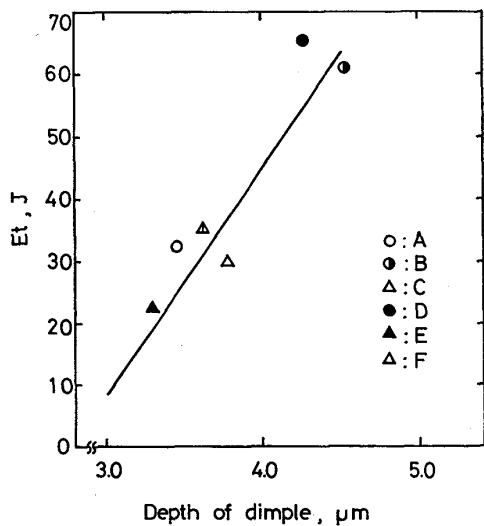


Fig. 11. Relation between  $E_t$  and depth of dimple (Equiaxed  $\alpha$  structure).

ック状破面とディンプルとからなり、ブロック状破面は、低倍率の観察では平滑な面で囲まれているように見えるが、高倍率で観察すると非常に微細なディンプルで

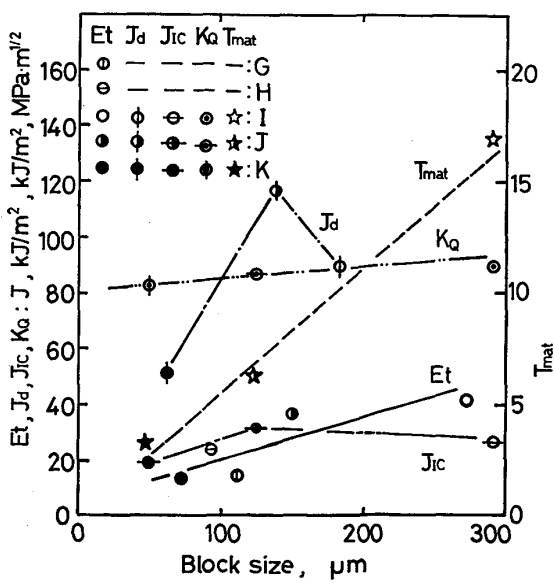


Fig. 12. Relation among  $E_t$ ,  $J_d$ ,  $J_{Ic}$ ,  $K_Q$ ,  $T_{mat}$  and block size (Acicular  $\alpha$  structure).

おおわされており、いずれも延性破面を呈している。

そこで、等軸  $\alpha$  組織試料の破面ではディンプルの深

さに、針状  $\alpha$  組織ではブロックの大きさに注目し、韌性との関係を検討した。Fig. 11 に等軸  $\alpha$  組織試料で観察されたディンプルの深さと  $E_t$  値との関係を示す。両者には相関性が認められ、特に韌性が低く現れた溶体化後 WQ した試料および韌性が高く現れた溶体化後 AC した試料間で明瞭な差が認められる。なお、 $J_d$ 、 $J_{IC}$ 、 $K_Q$  および  $T_{mat}$  値測定試料に関してはこの関係を明白にできかつた。

次いで、Fig. 12 に針状  $\alpha$  組織試料の場合について、ブロックの大きさと各韌性値との関係を示す。旧  $\beta$  粒径と各韌性値との関係 (Fig. 10) 同様、 $E_t$  および  $K_Q$  値とブロックの大きさとの間に相関性が認められる。ブロックの大きさは、旧  $\beta$  粒径よりも小さく、旧  $\beta$  粒を構成する下部組織の大きさに対応すると思われ、光学顕微鏡観察との対応により針状  $\alpha$  コロニーの大きさとほぼ一致することがわかつた。したがつて、針状  $\alpha$  組織では、主として針状  $\alpha$  コロニー単位で破壊が進行すると考えられ、しかも破面単位、すなわち針状  $\alpha$  コロニーが大きいほど韌性が向上する傾向を示している。この理由については、既に 3・2・1 にて述べた。ただし、 $J_d$  および  $J_{IC}$  値とブロックの大きさとの間には明白な相関関係は認められておらず、針状  $\alpha$  コロニーの割れを含めたき裂発生挙動には、さらに針状  $\alpha$  コロニーを形成する下部組織単位 (例えはラメラ間隔) の影響がおよんでいると思われるが、今後の検討課題である。

#### 4. 結 論

熱処理により、ミクロ組織を種々変化させた Ti-6Al-4V 合金につき、計装化シャルピー衝撃試験、動的破壊韌性試験および直流電位差法による静的破壊韌性試験を行い、韌性とミクロ組織因子につき検討した結果次のことがわかつた。

(1) シャルピー衝撃試験では等軸  $\alpha$  組織試料で、動的破壊韌性試験では針状  $\alpha$  組織試料で、韌性値が高く評価され、両試験で異なるたる韌性評価となるが、これは両試験での破壊を支配するミクロ組織単位の違いが主因と考えられる。

(2) 針状  $\alpha$  組織試料で電位差法により求めた  $J_{IC}$  値から換算される  $K_{IC}(J)$  は、 $K_Q$  値に比較して著しく小さく評価された。

(3)  $J_R$  曲線および  $T_{mat}$  の大きさの順は、必ずしも  $J_{IC}$  値の大きさの順と対応せず、設計法に応じて適切な韌性基準を選択しなければならないことが判つた。また、 $J_{IC}$  値に比べ、 $T_{mat}$  に対して、ミクロ組織の影響がより明瞭に現れることを示した。

(4) 等軸  $\alpha$  組織試料では初析  $\alpha$  相面積率と  $E_t$  あるいは初析  $\alpha$  相平均自由距離と  $E_t$ 、 $J_d$ 、 $K_Q$ 、 $J_{IC}$  および  $T_{mat}$ 、針状  $\alpha$  組織では旧  $\beta$  粒径の大きさと  $E_t$ 、 $K_Q$  および  $T_{mat}$  との間に相関性が認められる。

(5) さらに、等軸  $\alpha$  組織試料ではディンプルの深さと  $E_t$ 、針状  $\alpha$  組織試料では針状  $\alpha$  コロニーと対応するブロックの大きさと  $E_t$ 、 $K_Q$  および  $T_{mat}$  との間に相関性が認められる。後者ではブロックの大きさ、すなわち針状  $\alpha$  コロニーの大きい方が  $E_t$ 、 $K_Q$  および  $T_{mat}$  が向上する。これは、き裂伝播経路が直線性より偏倚することによるものと考えられる。

最後に、Ti-6Al-4V 合金試料を提供下さつた住友金属工業株式会社ならびに研究遂行に御援助頂いた株式会社富士電機総合研究所に深く感謝致します。また、動的破壊韌性試験に御協力下さつた豊橋技術科学大学大学院生山本勇君に感謝致します。

#### 文 献

- 1) 草道英武、松本年男: 鉄と鋼, 69 (1983), p. 1215
- 2) 西村 孝、安井健一、矢野博俊、松本年男、津森芳勝: 神戸製鋼技報, 34 (1982) 2, p. 89
- 3) ASTM E399-74, "Standard Test Method for Plane-Strain Fracture Toughness of Metallic Materials" (1974)
- 4) 新家光雄、牧清二郎、中村雅男、小林俊郎: 軽金属, 33 (1983) 9, p. 555
- 5) T. KOBAYASHI: Engineering Fracture Mechanics, 19 (1984) 1, p. 49
- 6) T. KOBAYASHI: Engineering Fracture Mechanics, 19 (1984) 1, p. 67
- 7) 小林俊郎: 鉄と鋼, 71 (1985) 6, p. 654
- 8) ASTM E813-81, "Standard Test for  $J_{IC}$ , A Measure of Fracture Toughness" (1981)
- 9) 小林俊郎、橋 敬、上田俊完: 鉄と鋼, 68 (1982), p. 1054
- 10) 小林俊郎、加藤銳次、清水伸浩、上田俊完: 軽金属, 31 (1981) 4, p. 248
- 11) 岸 輝雄: 第 26 回 TNT (1984 年 6 月) 資料 No. 176
- 12) 吉川一男、溝口孝遠、太田定雄、佐藤栄一: 材料 31 (1982) 342, p. 265
- 13) 河部義邦、宗木政一、高橋順次: 鉄と鋼, 69 (1983) 1, p. 145
- 14) C. F. SHIH, H. G. de LORENZI and W. R. ANDREWS: ASTM STP 668 (1979), p. 65
- 15) JSME S001-81, 日本機械学会基準, 弹塑性破壊韌性  $J_{IC}$  試験方法 (1981)
- 16) R. O. RITCHIE and A. W. THOMPSON: Metall. Trans., 16A (1985) 2, p. 233
- 17) 金属便覧 (日本金属学会編) (1971), p. 614 [丸善]